

стороны дна отводящего русла малы и поэтому скорости бурного потока, входя в расширение, увеличиваются, а глубины уменьшаются. Для изучения растекания потока на участке I можно пользоваться схемой, приведенной на рис. 2.

В сечении предельного расширения потока $A-A$ $F > 1$. Этот факт может использоваться далее при разработке методов расчета характеристик лепестка растекания потока. Участки растекания потока за сечением $A-A$ в настоящей работе не рассматриваются, так как основной целью работы было доказательство существования в лепестке растекания участка I и обоснование возможности пользования моделью потока на рис. 2 для изучения участка I реального потока в лепестке растекания.

1. Шеренков И. А. О плановой задаче растекания струи бурного потока несжимаемой жидкости // Известия АН СССР. ОТН. – 1958. – № 1. – С. 72–78.

2. Емцев Б. Т. Двухмерные бурные потоки. – М.: Энергия, 1967. – 212 с.

3. Штеренлихт Д. В. Гидравлика. – Изд. 3-е, перераб. – М.: Колос, 2005. – 656 с.

4. Справочник по гидравлике / Под ред. В. А. Большакова. – 2-е изд., перераб. и доп. – Киев: Высшая школа, 1984. – 343 с.

Материал поступил в редакцию 24.03.11.

Косиченко Наталья Викторовна, ассистент кафедры «Механика и гидравлика»

Тел. 8 (86352) 3-55-21; 8-918-551-67-22

E-mail: nikbk@inbox.ru

УДК 502/504:532.5

А. Ш. МАМЕДОВ

Научно-исследовательский и проектный институт «Сукаанал», Азербайджанская Республика

О РАСЧЕТЕ КОЭФФИЦИЕНТА ШЕЗИ РЕЧНОГО ПОТОКА

Приведены результаты анализа расчета коэффициента Шези, проведенного рядом исследователей. На основе многочисленных натуральных данных получена формула для параметра профиля скорости K от шероховатости русла. Выведена новая зависимость для коэффициента Шези. Полученные формулы апробированы на многочисленных натуральных данных для различных каналов.

Коэффициент Шези, коэффициент шероховатости, гидравлический радиус, формула Маннинга обобщенная, формула, параметры профилей скорости, глубина потока.

There are given results of the analysis of the Chezy factor calculation carried out by a number of researches. On the basis of numerous natural data there is deduced a formula for the velocity profile parameter K from channel roughness. A new dependence is derived for the Chezy factor. The obtained formulas are tested on numerous natural data for different channels.

Chezy friction factor, hydraulic radius, Manning equation, generalized formula, velocity profiles parameters, flow depth.

Правильная оценка гидравлических потерь по длине при равномерном движении потока в руслах каналов в значительной степени влияет на точность всего расчета, однако в настоящее время оста-

ется нерешенной задача расчета крупных каналов в деформируемых руслах [1–5].

Подробные анализы существующих формул, их классификации и результаты сопоставлений рассматриваются в ряде

работ [1–4, 8]. Приведем лишь один пример. В работе П. Ф. Горбачева, вышедшей в 1936 году, анализируется свыше 100 различных формул для коэффициента Шези. С того времени количество формул для C значительно увеличилось, что не является случайным, и связано с многообразием условий движения потока. По-видимому, каждая из формул для определения C в наилучшей степени отвечает тем конкретным условиям течения, для которых она выведена.

Автором сделана попытка проанализировать существующие рекомендации по расчету C и рекомендовать те из них, которые в наибольшей степени отвечают условиям русел каналов статического и динамического равновесия.

Среди формул для коэффициента Шези наиболее применяемыми являются показательные и логарифмические. Из ранних эмпирических формул для коэффициента Шези следует отметить формулу Маннинга (1889), которую обычно записывают в следующем виде:

$$C = (1/n)R^{1/6}, \quad (1)$$

где n – коэффициент шероховатости русла; R – гидравлический радиус русла.

Коэффициент шероховатости, входящий в (1), назначается по шкале Гангилье и Куттера. Благодаря простоте и достоверности формула Маннинга широко используется для расчета каналов, искусственных водоводов, а иногда и естественных речных русел.

Н. Н. Павловский проанализировал обширный материал натурных наблюдений (более 300 опытных точек, в основном по движению воды в различных каналах) и предложил обобщенную формулу для коэффициента Шези:

$$C = (1/n)R^{1/y}, \quad (2)$$

где y – переменный показатель степени, зависящий от гидравлического радиуса R и коэффициента шероховатости n ; определяется по формуле

$$y = 2,5\sqrt{n} - 0,13 - 0,75 \cdot \sqrt{R} (\sqrt{n} - 0,10). \quad (3)$$

Н. Н. Павловский рекомендует зависимость (2) для расчета открытых русел при $0,1 \text{ м} \leq R \leq 3,0 \text{ м}$ и для значений n от 0,011 до 0,04. Иногда при предварительных расчетах эту формулу, так же как формулу Маннинга и Форхмера, экстраполируют до $R = 5,0 \text{ м}$. Для назначения коэффициента шероховатости

н. Н. Павловским составлена специальная таблица [3, 6].

С 1949 года в практике гидравлических расчетов наряду с формулами степенного типа Маннинга и Н. Н. Павловского стала применяться полуэмпирическая формула логарифмического типа, чаще всего именуемая как формула И. И. Агроскина [2, 6]:

$$C = 1/n + 17,721 \lg R. \quad (4)$$

В 1965 году И. И. Агроскин и Д. В. Штеренлихт предложили уточненное выражение для (4), желая привести данную формулу в большее соответствие с формулой Н. Н. Павловского [2, 6]:

$$C = 1/n + (27,5 - 300n) \lg R. \quad (5)$$

При $R < 5 \text{ м}$ и $n \leq 0,02$ значение C на 1...2 % меньше его значения, по Н. Н. Павловскому.

Обрабатывая результаты большого числа натурных измерений на реках и каналах, аналогичную формулу для значения $5 < R < 10 \text{ м}$ предложил В. Г. Талмаза [2, 7]:

$$C = 1/n + (21 - 100n) \lg h, \quad (6)$$

где h – средняя глубина потока, м.

В 1968 году Г. В. Железняков, исходя из логарифмического закона распределения скоростей, использовал формулу для коэффициента Шези в следующем виде [6]:

$$C = \frac{1}{n} + \frac{2,3\sqrt{g}}{K} \lg R, \quad (7)$$

где K – параметры профилей скорости.

Для определения K он предлагал использовать следующее выражение:

$$K = \frac{2,3\sqrt{g} + 0,3C}{\sqrt{g} + C}. \quad (8)$$

Учитывая (8) в формуле (7), Ф. В. Железняков рекомендует зависимость для определения коэффициента Шези в следующем виде [6]:

$$C = \frac{1}{2} \left[\frac{1}{n} - \frac{\sqrt{g}}{0,13} (1 - \lg R) \right] + \\ + \sqrt{\frac{1}{4} \left[\frac{1}{n} - \frac{\sqrt{g}}{0,13} (1 - \lg R) \right]^2 + \frac{\sqrt{g}}{0,13} \left(\frac{1}{n} + \sqrt{g} \lg R \right)}. \quad (9)$$

По мнению автора [2], формула (9) в отличие от других формул справедлива в большом диапазоне глубин потока и коэффициентов шероховатости. Для ее практического применения составлена таблица. Значения C , найденные по формуле Г. В. Железнякова, при $R < 5 \text{ м}$ на ±3...5 %

отличаются от значений, вычисленных по формуле Павловского, а при $R > 5$ м они полностью совпадают со значениями, определенными по формуле Талмаза.

В последнее время для расчета крупных каналов и рек предлагается использовать формулу (9) [4–6]. Однако применение данного выражения наряду с другими формулами загромождает полученную зависимость.

Предлагаемая методика расчета.

Для определения коэффициента Шези автором выполнена обработка данных многочисленных натурных исследований Верхне-Карабахского, Верхне-Ширванского, Каракумского, Кызылкумского, Северо-Крымского, Потийского и других каналов [1–3, 9]. При этом установлена прямая функциональная зависимость для значе-

ния параметра профилей скоростей K от шероховатости русла:

$$K = 4,1n + 0,32. \quad (10)$$

По данным натурных исследований Главного Муганского канала определены коэффициент шероховатости канала и параметр профилей скоростей в нем [2, 9]. Результаты подсчетов приведены в табл. 1. Из этой таблицы следует, что глубина потока в канале изменяется от 1,0 до 3,2 м, а скорость воды в нем составляет 0,381...1,296 м/с. Коэффициент шероховатости канала, определяемый по данным натурных наблюдений, колебается от 0,0123 до 0,0680. Параметр профилей скорости определен по выражению Г. В. Железнякова – его значение вдоль канала изменяется в пределах 0,372...0,624. На рис. 1 представлен график изменения

Таблица 1
Параметры потока Главного Муганского канала (коэффициенты Шези, шероховатости и профилей скорости)

| Глубина потока H , м | Скорость воды v , м/с | Коэффициент Шези C , $\text{м}^{0.5}/\text{с}$ | Коэффициент шероховатости n | Параметр K , по Г. В. Железнякову |
|------------------------|-------------------------|--|-------------------------------|-------------------------------------|
| 1,80 | 0,419 | 16,23 | 0,0680 | 0,624 |
| 2,30 | 0,451 | 17,87 | 0,0643 | 0,598 |
| 2,40 | 0,710 | 18,44 | 0,0627 | 0,590 |
| 1,98 | 0,510 | 18,89 | 0,0593 | 0,584 |
| 1,20 | 0,381 | 18,13 | 0,0569 | 0,595 |
| 2,05 | 0,565 | 20,57 | 0,0548 | 0,564 |
| 2,80 | 0,582 | 22,12 | 0,0537 | 0,548 |
| 1,50 | 0,760 | 23,95 | 0,0447 | 0,531 |
| 2,70 | 0,960 | 26,67 | 0,0442 | 0,510 |
| 2,20 | 0,615 | 26,39 | 0,0432 | 0,512 |
| 2,70 | 0,807 | 29,51 | 0,0400 | 0,492 |
| 2,52 | 0,712 | 29,19 | 0,0400 | 0,494 |
| 2,75 | 0,818 | 29,64 | 0,0399 | 0,491 |
| 3,10 | 0,845 | 30,53 | 0,0395 | 0,486 |
| 2,70 | 0,980 | 30,50 | 0,0387 | 0,486 |
| 1,65 | 0,610 | 28,53 | 0,0381 | 0,498 |
| 3,15 | 0,872 | 31,99 | 0,0378 | 0,478 |
| 2,78 | 0,887 | 31,96 | 0,0371 | 0,479 |
| 1,90 | 0,645 | 30,47 | 0,0365 | 0,486 |
| 1,28 | 0,496 | 30,69 | 0,0340 | 0,485 |
| 3,10 | 0,986 | 35,62 | 0,0339 | 0,462 |
| 3,20 | 0,991 | 36,06 | 0,0337 | 0,460 |
| 2,30 | 0,724 | 39,50 | 0,0291 | 0,447 |
| 1,60 | 0,565 | 37,34 | 0,0290 | 0,455 |
| 2,20 | 0,741 | 41,35 | 0,0276 | 0,441 |
| 1,90 | 0,771 | 41,10 | 0,0271 | 0,442 |
| 2,30 | 0,876 | 42,44 | 0,0271 | 0,437 |
| 0,90 | 0,496 | 36,58 | 0,0269 | 0,458 |
| 1,80 | 0,662 | 41,87 | 0,0263 | 0,439 |
| 1,30 | 0,668 | 41,03 | 0,0255 | 0,442 |
| 2,60 | 0,898 | 46,07 | 0,0255 | 0,427 |
| 1,85 | 0,659 | 44,44 | 0,0249 | 0,432 |
| 1,28 | 0,687 | 42,51 | 0,0245 | 0,437 |
| 2,10 | 0,714 | 46,39 | 0,0244 | 0,426 |

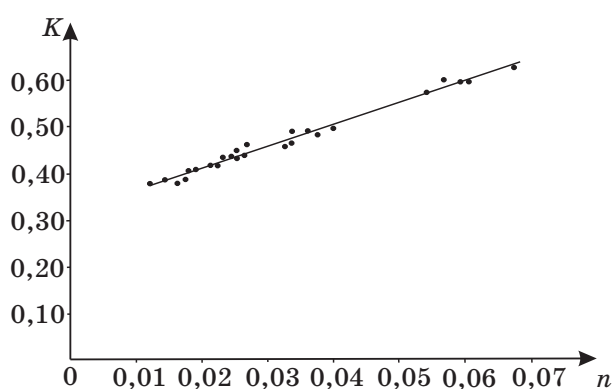


Рис. 1. Изменение параметра профилей скорости в зависимости от коэффициента шерховатости (по данным Главного Муганского канала)

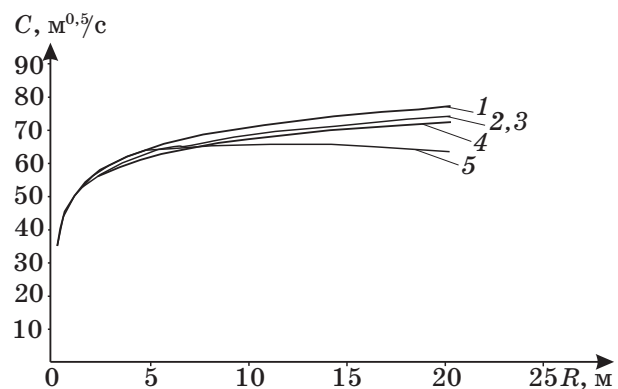


Рис. 2. Графики $C = f(R)$ при $n = 0,02$:
1 – И. И. Агроскин; 2 – В. Г. Талмаза; 3 – Г. В. Железняков; 4 – автор; 5 – Н. Н. Павловский

Таблица 2
Коэффициенты Шези по разным формулам и их сопоставление

| Глубина воды h , м | Скорость потока v , м/с | Гидравлический уклон J | Коэффициенты Шези по опытным данным, $C_{оп}$, $m^{0,5}/c$ | Коэффициент шерховатости n | Коэффициенты Шези C , $m^{0,5}/c$ | Расхождение между $C_{оп}$ и C , % | Коэффициенты Шези, по В. Г. Талмаза, $m^{0,5}/c$ | Расхождение между $C_{оп}$ и C , по В. Г. Талмаза, % | Коэффициенты Шези, по Г. В. Железнякову, $m^{0,5}/c$ | Расхождение между $C_{оп}$ и C , по Г. В. Железнякову, % |
|----------------------|---------------------------|--------------------------|---|------------------------------|-------------------------------------|--------------------------------------|--|--|--|--|
| 19,0 | 1,40 | 0,000060 | 41,5 | 0,0394 | 45,34 | -9,36 | 47,20 | -13,83 | 47,13 | -13,65 |
| 16,0 | 1,68 | 0,000054 | 57,2 | 0,0278 | 56,96 | 0,33 | 57,95 | -1,39 | 57,57 | -0,73 |
| 15,5 | 1,08 | 0,000060 | 35,4 | 0,0446 | 40,19 | -13,48 | 42,12 | -18,93 | 42,01 | -18,63 |
| 14,1 | 0,97 | 0,000060 | 33,3 | 0,0466 | 38,31 | -14,89 | 40,23 | -20,64 | 40,10 | -20,25 |
| 13,0 | 1,43 | 0,000045 | 59,1 | 0,0259 | 58,31 | 1,38 | 59,06 | 0,10 | 58,59 | 0,90 |
| 12,5 | 1,95 | 0,000120 | 50,3 | 0,0303 | 51,68 | -2,65 | 52,77 | -4,80 | 52,22 | -3,72 |
| 12,0 | 1,43 | 0,000054 | 56,2 | 0,0269 | 56,07 | 0,19 | 56,88 | -1,26 | 56,35 | -0,32 |
| 11,2 | 0,72 | 0,000023 | 44,9 | 0,0333 | 47,30 | -5,44 | 48,53 | -8,17 | 47,91 | -6,80 |
| 11,0 | 1,05 | 0,000054 | 43,1 | 0,0346 | 45,87 | -6,46 | 47,15 | -9,45 | 46,53 | -8,01 |
| 10,0 | 1,12 | 0,000045 | 52,8 | 0,0278 | 53,37 | -1,09 | 54,19 | -2,64 | 53,56 | -1,45 |
| 9,0 | 0,81 | 0,000051 | 37,8 | 0,0381 | 41,28 | -9,17 | 42,61 | -12,71 | 41,90 | -10,83 |
| 8,0 | 2,10 | 0,000200 | 52,5 | 0,0269 | 52,97 | -0,90 | 53,66 | -2,20 | 52,96 | -0,88 |
| 7,6 | 0,98 | 0,000100 | 35,5 | 0,0394 | 39,10 | -9,98 | 40,38 | -13,58 | 39,59 | -11,37 |
| 7,2 | 1,06 | 0,000052 | 54,8 | 0,0254 | 54,71 | 0,13 | 55,25 | -0,86 | 54,58 | 0,38 |
| 7,0 | 0,77 | 0,000030 | 53,1 | 0,0260 | 53,39 | -0,47 | 53,97 | -1,56 | 53,26 | -0,24 |
| 6,8 | 0,70 | 0,000030 | 49,0 | 0,0281 | 50,05 | -2,13 | 50,75 | -3,55 | 49,99 | -2,0 |
| 6,6 | 1,50 | 0,000060 | 75,4 | 0,0182 | 70,80 | 6,07 | 70,76 | 6,13 | 70,40 | 6,60 |
| 6,5 | 1,20 | 0,000100 | 47,1 | 0,0290 | 48,43 | -2,90 | 49,17 | -4,46 | 48,37 | -2,78 |
| 6,0 | 1,56 | 0,000180 | 47,5 | 0,0284 | 48,68 | -2,54 | 49,35 | -3,95 | 48,55 | -2,28 |
| 5,5 | 2,34 | 0,000190 | 72,4 | 0,0184 | 68,70 | 5,10 | 68,67 | 5,13 | 68,27 | 5,68 |
| 5,0 | 1,00 | 0,000250 | 28,3 | 0,0462 | 31,92 | -12,84 | 33,08 | -16,94 | 32,20 | -13,84 |
| 4,0 | 0,45 | 0,000045 | 33,5 | 0,0376 | 36,17 | -7,85 | 37,00 | -10,32 | 36,07 | -7,55 |
| 3,4 | 0,43 | 0,000100 | 23,3 | 0,0526 | 26,44 | -13,39 | 27,38 | -17,43 | 26,52 | -13,72 |
| 3,24 | 1,14 | 0,000250 | 40,1 | 0,0304 | 41,59 | -3,84 | 42,10 | -5,10 | 41,29 | -3,07 |
| 2,2 | 0,35 | 0,000025 | 47,2 | 0,0242 | 47,56 | -0,78 | 47,75 | -1,17 | 47,21 | -0,03 |
| 2,0 | 0,73 | 0,000290 | 30,3 | 0,0370 | 31,80 | -4,92 | 32,21 | -6,27 | 31,52 | -4,0 |
| 1,53 | 0,65 | 0,000250 | 33,2 | 0,0323 | 34,04 | -2,42 | 34,24 | -3,03 | 33,8 | -1,7 |
| 1,30 | 0,97 | 0,00750 | 31,1 | 0,0336 | 31,61 | -1,76 | 31,75 | -2,19 | 31,44 | -1,22 |

параметра профилей скорости в зависимости от шероховатости русла канала.

С учетом значения K по (10) в (7) получаем формулу для определения коэффициента Шези:

$$C = \frac{1}{n} + \frac{2,3\sqrt{g}}{4,1n + 0,32} \lg R. \quad (11)$$

Сравнение формулы (11) с формулой (6) показало совпадение на 98...99 % при значении $0,1 > R \leq 20$ м и $0,01 > n > 0,06$. Для сопоставления (11) использованы также опытные данные М. П. Сосорова, в его опытах глубина воды изменялась от 1,3 до 19,0 м (табл. 2) [7]. При этом коэффициент Шези подсчитан по данным опытов, а также по формулам (11), В. Г. Талмаза и Г. В. Железнякова. Из табл. 2 следует, что величина значения коэффициента Шези, определяемая по натуральным данным М. П. Сосорова, составляет $19,4 \dots 75,4 \text{ м}^{0,5}/\text{с}$, по (11) – $23,57 \dots 70,80 \text{ м}^{0,5}/\text{с}$, по формуле

В. Г. Талмаза – $21,83 \dots 70,76 \text{ м}^{0,5}/\text{с}$ и по формуле Г. В. Железнякова – $21,14 \dots 70,40 \text{ м}^{0,5}/\text{с}$. Расхождение между коэффициентами Шези, вычисленными по опытным данным и по (11), составляет 0,11...14,89 %, по формуле В. Г. Талмаза – 0,10...20,64 %, по формуле Г. В. Железнякова – 0,2...20,25 %. Следовательно, сходимость по (11) значительно улучшается по сравнению с другими существующими зависимостями.

С целью проверки и сопоставления приведенных значений коэффициентов Шези построены кривые $C = f(R)$, представленные на рис. 2. Графики, построенные по формулам (1), (2), (5), (6), (9) и (11), имеют монотонно возрастающий характер, по (2) – переходят из монотонно возрастающих в нисходящие при различных значениях R в зависимости от значений n , при $R < 10$ м имеют нисходящий характер. При $R < 3$ м и $n < 0,04$ формулы Н. Н. Павловского, И. И. Агроскина и В. В. Штеренлихта

Таблица 3

Коэффициенты Шези по существующим и предлагаемой формулам и расхождение между ними

| R | n | Значения коэффициента Шези по формулам | | | | | Расхождение между предлагаемой и существующими формулами, % | | | |
|------|------|--|--|---------------------------|---------------------------|--------|---|--|--------------------------|---------------------------|
| | | В. Г. Талмаза | И. И. Агос- кина Д. В. Штерен- лихта | Г. В. Желез- някова | Н. Н. Павлов- ского | Автора | В. Г. Тал- маза | И. И. Агоски- на, Д. В. Штерен- лихта | Г. В Желез- някова | Н. Н. Павлов- ского |
| 0,2 | 0,02 | 36,72 | 34,97 | 38,77 | 35,68 | 37,47 | -2,056 | -7,16 | 3,353 | -5,03 |
| 0,5 | 0,02 | 44,28 | 43,53 | 44,95 | 43,48 | 44,61 | -0,734 | -2,48 | 0,764 | -2,59 |
| 1,0 | 0,02 | 50,00 | 50,00 | 50,00 | 50,00 | 50,00 | 0,000 | 0,00 | 0,000 | 0,00 |
| 1,5 | 0,02 | 53,35 | 53,79 | 53,09 | 53,91 | 53,16 | 0,357 | 1,17 | -0,123 | 1,39 |
| 2,0 | 0,02 | 55,72 | 56,47 | 55,34 | 56,63 | 55,39 | 0,584 | 1,91 | -0,100 | 2,18 |
| 4,0 | 0,02 | 61,44 | 62,94 | 60,93 | 62,54 | 60,79 | 1,058 | 3,42 | 0,231 | 2,80 |
| 5,0 | 0,02 | 63,28 | 65,03 | 62,78 | 64,07 | 62,53 | 1,193 | 3,85 | 0,400 | 2,41 |
| 6,0 | 0,02 | 64,78 | 66,73 | 64,30 | 65,12 | 63,94 | 1,297 | 4,17 | 0,557 | 1,81 |
| 7,0 | 0,02 | 66,06 | 68,17 | 65,60 | 65,83 | 65,14 | 1,382 | 4,44 | 0,699 | 1,04 |
| 8,0 | 0,02 | 67,16 | 69,42 | 66,74 | 66,30 | 66,18 | 1,452 | 4,66 | 0,830 | 0,17 |
| 9,0 | 0,02 | 68,13 | 70,52 | 67,74 | 66,58 | 67,10 | 1,513 | 4,84 | 0,949 | -0,78 |
| 10,0 | 0,02 | 69,00 | 71,50 | 68,65 | 66,72 | 67,92 | 1,565 | 5,01 | 1,060 | -1,79 |
| 11,0 | 0,02 | 69,79 | 72,39 | 69,47 | 66,75 | 68,66 | 1,612 | 5,15 | 1,163 | -2,86 |
| 12,0 | 0,02 | 70,50 | 73,20 | 70,22 | 66,69 | 69,34 | 1,653 | 5,28 | 1,258 | -3,97 |
| 14,0 | 0,02 | 71,78 | 74,64 | 71,56 | 66,37 | 70,54 | 1,725 | 5,50 | 1,431 | -6,28 |
| 15,0 | 0,02 | 72,35 | 75,29 | 72,17 | 66,13 | 71,08 | 1,756 | 5,59 | 1,510 | -7,48 |
| 17,0 | 0,02 | 73,38 | 76,45 | 73,26 | 65,53 | 72,05 | 1,811 | 5,76 | 1,656 | -9,95 |
| 18,0 | 0,02 | 73,85 | 76,99 | 73,77 | 65,18 | 72,49 | 1,836 | 5,84 | 1,723 | -11,21 |
| 19,0 | 0,02 | 74,30 | 77,49 | 74,24 | 64,82 | 72,92 | 1,859 | 5,91 | 1,787 | -12,50 |
| 20,0 | 0,02 | 74,72 | 77,97 | 74,69 | 64,43 | 73,31 | 1,881 | 5,97 | 1,848 | -13,80 |

совпадают с точностью 1...2 % (табл. 3). Анализ построенных кривых с большой точностью показывает сходимость формул (9) и (11). Поэтому в дальнейших расчетах автором предложено использовать формулу (11).

Надо подчеркнуть, что все приведенные эмпирические и полуэмпирические формулы для коэффициента Шези относятся к равномерному движению воды в области квадратичного закона сопротивления и являются приближенными.

Выводы

Предлагаемая методика расчета коэффициента Шези по формуле (11), апробированная на многочисленных данных для различных каналов, показывает ее наилучшую сходимость с натурой и поэтому рекомендуется для расчета крупных каналов.

1. Алтунин В. С. Мелиоративные каналы в земляных руслах. – М.: Колос, 1979. – 254 с.

2. Ибадзаде Ю. А. Водопроводные каналы. – М.: Стройиздат, 1975. – 192 с.

3. Рабкова Е.К. Проектирование и рас-

чет оросительных каналов в земляном русле. – М., 1990. – 250 с.

4. Рекомендации по гидравлическому расчету крупных каналов. – М.: Союзгипроводхоз, 1988. – 153 с.

5. Руководство по гидравлическим расчетам крупных земляных каналов. – М.: Министерство мелиорации и водного хозяйства СССР, 1984. – 50 с.

6. Железняков Г. В. Пропускная способность русел каналов и рек. – Л.: Гидрометеоиздат, 198. – 310 с.

7. Сосоров М. П. О расчете коэффициента Шези речного потока // Гидротехнические строительство. – 1970. – № 7. – С. 36–38.

8. Талмаза В. Ф., Крошкин А. Н. Гидроморфометрические характеристики рек горно-предгорной зоны. – Фрунзе, 1968. – 210 с.

9. Кадастр крупных земляных каналов СССР. – М.: Министерство мелиорации и водного хозяйства СССР, 1986. – 208 с.

Материал поступил в редакцию 10.06.10.

Мамедов Ахмед Ширин оглы, кандидат технических наук, заместитель директора
E-mail: a.memmedov@sukanal.az

УДК 502/504:556.5 (470.26)

Н. С. БЕЛОВ

Балтийский федеральный университет имени И. Канта

ГЕОЭКОЛОГИЧЕСКАЯ СИТУАЦИЯ В РЕЧНЫХ БАССЕЙНАХ КАЛИНИНГРАДСКОЙ ОБЛАСТИ

В статье представлена авторская методика и приведены результаты оценки геоэкологической ситуации в речных бассейнах Калининградской области.

Геоэкология, параметрическая оценка, речные бассейны, Калининградская область.

In the article the author's method and results of evaluation of the geo-ecological situation in the river basins of the Kaliningrad area are given.

Geo-ecology, parametric estimation, river basins, the Kaliningrad area.

Оценка геоэкологической ситуации в речных бассейнах является неотъемлемым элементом для оптимизации природопользования. В последние годы данной проблеме уделяется серьезное внимание,

предложено множество вариантов геоэкологических оценок территорий [1–8]. Как правило, при геоэкологической оценке исследуемый объект рассматривается как сложная система с неаддитивными